

## **Автоматизація та управління процесами збагачення**

**2.Хорольський В.П., Хоцкіна В.Б.** Принципи інтегрованого багаторівневого управління процесами збагачення руд // Збагачення корисних копалин. Наук.-техн. зб. – 2002. – Вип.16(57). – С. 93–99.

**3.Бабец Е.К., Хорольский В.П., Хорольская Т.В.** Теоретические модели сложных технологических процессов и аппаратов обогатительной технологии // Науковий Вісник національного гірничого університету. – 2004. – №12. – С. 15–19.

**4.Хорольский В.П.** Адаптивные системы многоуровневого управления технологическими процессами переработки руд: Автореф. дис. ... д-ра техн. наук. – Л., 1989. – 40с.

**5.Хорольский В.П.** Интеллектуальная система управления обогатительной фабрики окисленных руд // Изв. вузов. Горн. журн. – 1992. – №10. – С. 37–41.

6.А.с. 902828 СССР, М.Кл.<sup>3</sup>ВО2С 23/00. Способ управления флокулообразованием пульпы и устройство для его осуществления / В.П. Хорольский (СССР). – 2903875/22-03; Заявлено 18.02.80. Опубл. 07.02.82. Бюл. №5.

7.А.с. 580904 СССР, М.Кл.<sup>2</sup>ВОЗС 1/02. Электромагнитный гидроциклонный сепаратор / В.П. Хорольский (СССР). – 292447189/22-03; Заявлено 20.06.75. Опубл. 25.11.77. Бюл. №43.

8.А.с. 619205 СССР, М.Кл.<sup>2</sup>ВОЗВ 5/34, ВОЗС 1/00. Песковая насадка электромагнитного гидроциклиона / Л.Р. Тисменецкий, В.П. Хорольский (СССР). – 2409506/22-03; Заявлено 04.10.76. Опубл. 15.08.78. Бюл. №30.

© Хорольский В.П., Хорольская Т.В., Бабец Е.К., 2005

*Надійшла до редколегії 30.05.2005 р.  
Рекомендовано до публікації д.т.н. І.К. Младецьким*

УДК 622.778-52

**ИСЛАМ АБДЕЛЬХАМИД ЮСЕФ АЛЬ БОСТАНЖИ**

(Украина. Днепропетровск, Национальный горный университет)

**СИСТЕМА АВТОМАТИЧЕСКОГО КОНТРОЛЯ И РЕГУЛИРОВАНИЯ  
КАЧЕСТВА КОНЦЕНТРАТА НА ВЫХОДЕ СЕКЦИИ ОБОГАЩЕНИЯ  
МАГНЕТИТОВЫХ РУД**

*Состояние вопроса.* Украина обладает богатыми запасами магнетитовых руд, т.е. сырьем для производства железорудного концентрата. Обогатительные фабрики по его выработке состоят из секций обогащения, каждая из которых представляет собой, как правило, две полусекции, параллельно работающие на один сборный конвейер. Для каждой из полусекций состояние технологического оборудования и значения технологических переменных, в общем различно. В результате значения производительности по концентрату  $Q_1$  и массовой доли железа  $Q_2$  в концентрате  $\beta_1$  и  $\beta_2$  неодинаковы и изменчивы, что приводит к колебанию качества концентратов  $\beta_k$ , поступающего на склад.

## **Автоматизація та управління процесами збагачення**

Контроль качества обычно осуществляется посредством отбора технологических проб и химическим анализом отобранных проб на выходе каждой секции [1].

Автоматический контроль качества концентрата на выходе секции обогащения отсутствует. Регулирование качества концентрата происходит вручную путем изменения производительности по руде на входе секции обогащения.

Таким образом, проблема автоматического контроля и регулирования качества концентрата на сборном конвейере двух полусекций обогащения до настоящего времени не решена.

*Цель настоящей статьи – разработка системы автоматического контроля и регулирования качества концентрата на выходе параллельно работающих на общий сборный конвейер полусекций магнитного обогащения. Функциональная схема названной системы представлена на рис. 1.*

Методика измерения качества концентрата основана на зависимости нормальной составляющей напряженности магнитного поля в рабочей зоне сепаратора от массовой доли магнитного железа в слое концентрата на поверхности барабана сепаратора [2]. Экспериментальные исследования устройства для контроля массовой доли железа в концентрате представлены в работе [3]. Функциональная схема устройства изображена на рис. 2.

Методика измерения качества концентрата основана на зависимости нормальной составляющей напряженности магнитного поля в рабочей зоне сепаратора от массовой доли магнитного железа в слое концентрата на поверхности барабана сепаратора [2]. Экспериментальные исследования устройства для контроля массовой доли железа в концентрате представлены в работе [3]. Функциональная схема устройства изображена на рис. 2.

## Автоматизація та управління процесами збагачення

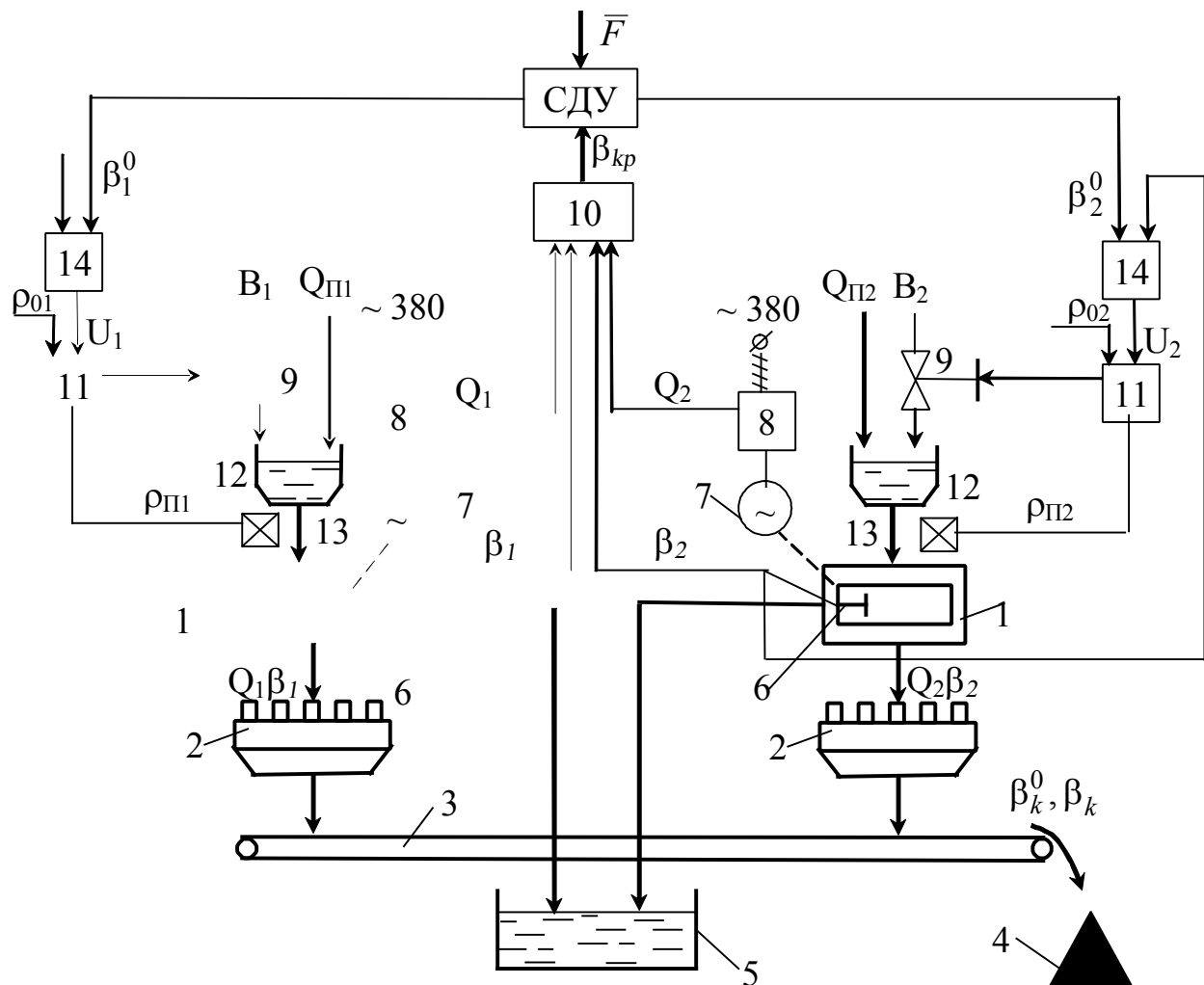


Рис. 1. Функціональна схема системи автоматичного контролю:

1 – барабанні магнітні сепаратори; 2 – вакуум-фільтри; 3 – сборний конвейер; 4 – склад концентрату; 5 – хвостохранилище; 6 – датчик масової долі жалеза в концентраті; 7 – електродвигатель барабана сепаратора; 8 – измерительный преобразователь активной мощности; 9 – регулирующие клапаны расхода воды; 10 – микропроцессорный контроллер; 11 – регуляторы плотности пульпы, поступающей в банку сепаратора; 12 – технологические емкости; 13 – плотномеры; 14 – статистические регуляторы массовой доли железа в концентрате магнитных сепараторов; СДУ – система дистанционного управления секцией магнитного обогащения;  $\rho_{p1}$ ,  $\rho_{p2}$  – плотность пульпы в питании;  $Q_1$ ,  $Q_2$  – производительность по магнитному продукту первого и второго сепараторов соответственно;  $\beta_1$ ,  $\beta_2$  – массовая доля железа в концентрате первого и второго сепараторов соответственно;  $B_1$ ,  $B_2$  – расход воды в первый и второй сепаратор соответственно;  $\beta_1^0$ ;  $\beta_2^0$ ;  $\beta_k^0$  – заданные значения массовой доли железа в концентрате первого, второго сепараторов и на выходе технологической линии обогащения;  $\beta_k$  – действительное значение массовой доли железа в концентрате на выходе технологической линии обогащения;  $F$  – вектор возмущающих воздействий на процесс обогащения;  $U_1$ ,  $U_2$  – управляющие воздействия на входе регуляторов плотности пульпы

## Автоматизація та управління процесами збагачення

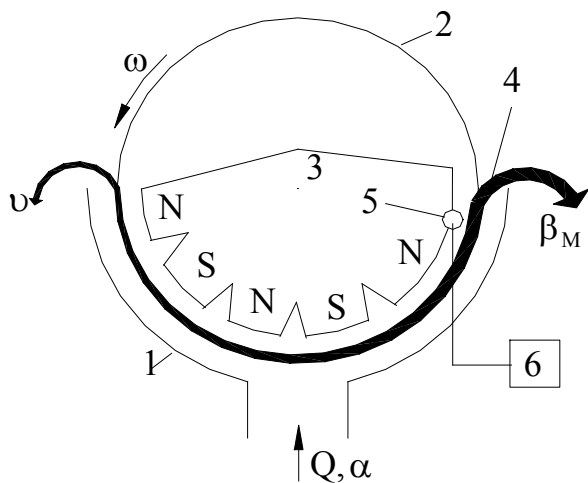


Рис. 2. Функціональна схема устройства автоматичного контролю масової долі жалеза в концентраті:

- 1 – ванна сепаратора; 2 – барабан сепаратора; 3 – магнитная система сепаратора;
- 4 – слой концентрата на барабане; 5 – магнитный регулятор;
- 6 – автоматический мост постоянного тока;  $\omega$  – скорость вращения барабана;
- $Q$  – производительность по питанию сепаратора;
- $\alpha, \beta_M, v$  – массовая доля железа в питании, концентрате и хвостах магнитного сепаратора соответственно

При изменении массовой доли железа  $\beta_M$  в слое концентрата 4 на поверхности барабана 2 пропорционально изменяется нормальная составляющая напряженности магнитного поля сепаратора, которая измеряется магнитным резистором 5, включенным в измерительную мостовую схему. Шкала автоматического моста 6 проградуирована в единицах массовой доли магнитного железа в концентрате.

На рис. 3 представлена статическая характеристика магнитного сепаратора как объекта автоматического регулирования.

## Автоматизація та управління процесами збагачення

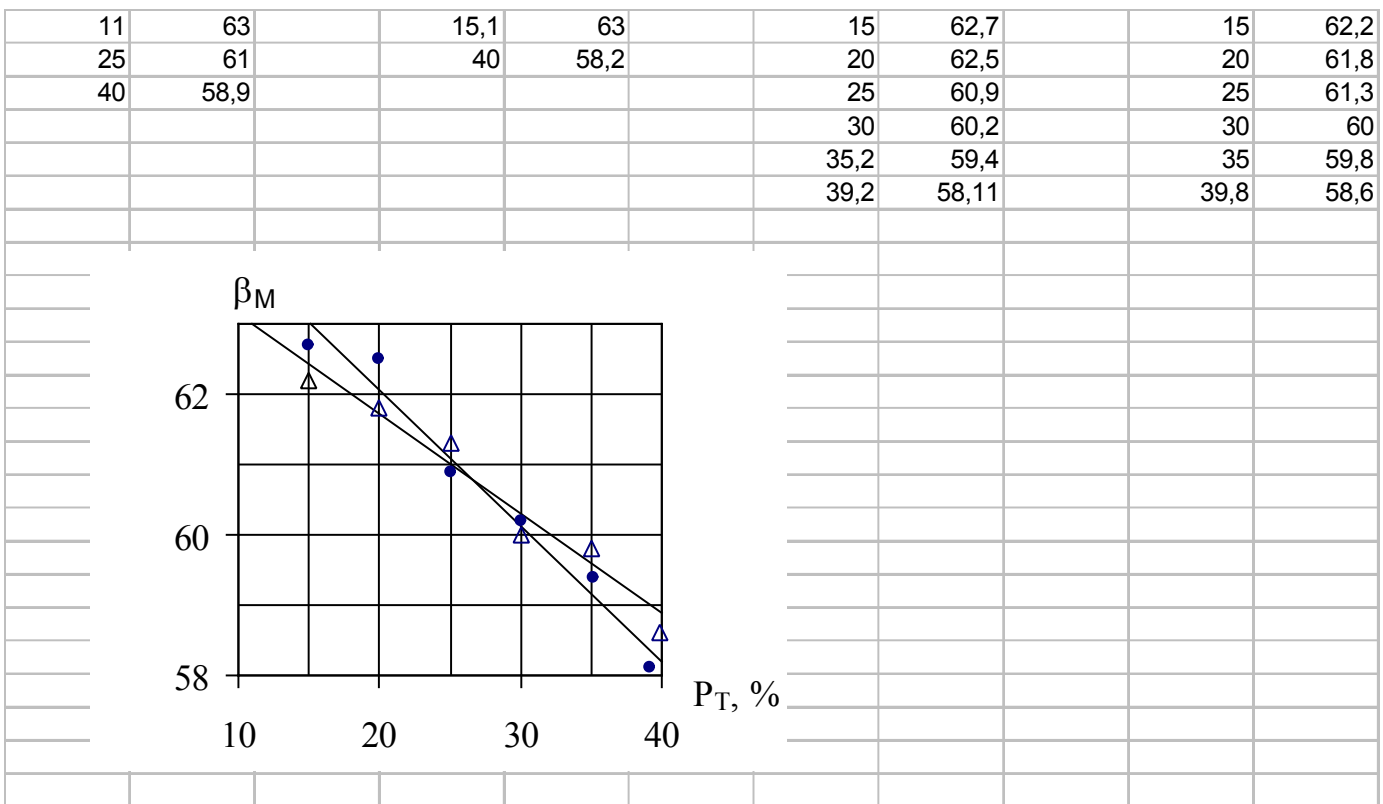


Рис. 3. Статичская характеристика магнитного сепаратора:  
 $\beta_M$  – массовая доля железа в концентрате магнитного сепаратора;  
 $P_t$  – содержание твердой фазы (%)

Плотность пульпы  $\rho_{p1}$  и  $\rho_{p2}$  (см. рис.1) поддерживается регуляторами плотности 11. Коррекция заданий  $\rho_{01}, \rho_{02}$  регуляторам плотности пульпы  $\pm \Delta\rho$  осуществляется статистическими регуляторами релейного действия 14. Алгоритм статистического регулирования имеет вид

$$u = \begin{cases} 0, & \text{если } \beta^0 - \Delta \leq \beta \leq \beta^0 + \Delta \\ +\Delta\rho, & \text{если } \beta > \beta^0 + \Delta \\ -\Delta\rho, & \text{если } \beta < \beta^0 - \Delta \end{cases},$$

где  $\beta^0$  – заданные значения качества концентрата системы дистанционного управления;  $\pm \Delta$  – технологические допуски на показатель качества концентрата. Причем плотность пульпы должна находиться в заданных пределах.

Эффективность предлагаемой системы автоматизации оценивалась по

## Автоматизація та управління процесами збагачення

результатам имитационного моделирования системы, которые представлены на рис. 4. Годным по техническим условиям концентратом считается концентрат с массовой долей магнитного железа  $\beta_M \geq 60\%$ .

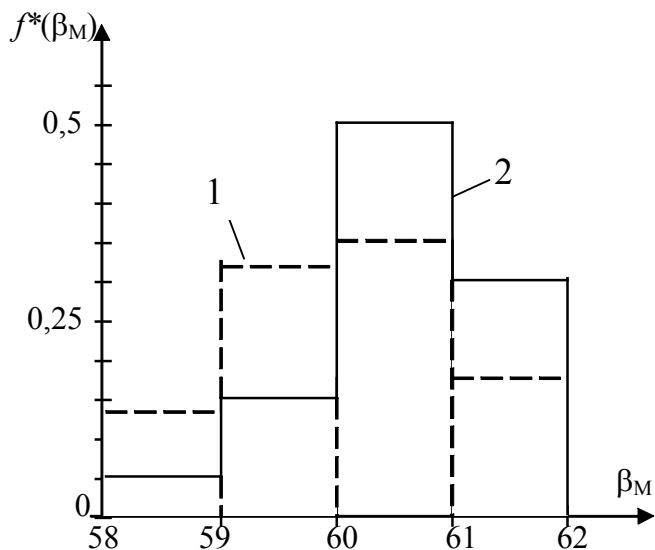


Рис. 4. Гистограммы распределения массовой доли железа в концентрате:  
 1 – режим работы без системы регулирования; 2 – режим работы с системой  
 регулирования;  $f^*(\beta_M)$  – относительные частоты появления  
 массовой доли железа в концентрате  $\beta_M$  в заданных интервалах

При имитационном моделировании сравнивалось два режима работы: с системой регулирования и без нее. При этом за критерий эффективности принят удельный вес годного по технологическим условиям концентрата в общем объеме его выпуска Т.

$$T = \int_{\beta_{M1}}^{\beta_{M2}} f^*(\beta_M) d\beta_M,$$

где  $\beta_{M1}$  – минимально допустимое значение массовой доли железа в концентрате;  $\beta_{M2}$  – максимально допустимое значение массовой доли железа в концентрате.

В соответствии со свойствами эмпирической функции распределения  $f^*(\beta_M)$  случайной величины  $\beta_M$  имеем два значения критерия Т. Для режима работы без системы регулирования  $T_1 = 55\%$ . Для режима работы с системой регулирования  $T_2 = 82,5\%$ .

## Автоматизація та управління процесами збагачення

Таким образом, система регулирования качества концентрата повышает удельный вес годного по техническим условиям концентрата в общем объеме его выпуска на 27,5%.

Расчетное значение качества концентрата  $\beta_{kp}$  получают по формуле

$$\beta_{kp} = \frac{\beta_1 Q_1 + \beta_2 Q_2}{Q_1 + Q_2},$$

где  $Q_1, Q_2$  – производительность магнитных сепараторов по магнитному продукту, которая измеряется по величине активной мощности приводного электродвигателя магнитного сепаратора [2].

Система дистанционного управления обогатительной фабрики в зависимости от типа перерабатываемых руд и состояния полусекций задает плановые задания по качеству концентрата для обеих полусекций  $\beta_1^0$  и  $\beta_2^0$  [3].

### Выводы

1. Предлагаемая система автоматического контроля массовой доли железа при обогащении магнетитовых руд повышает оперативность определения качества железорудного концентрата по сравнению с технологическими опробованиями и химическим анализом лабораторных проб.

2. Указанная система учитывает различия в работе двух параллельно работающих секций обогащения и дает средневзвешенное значение показателя качества железорудного концентрата на сборном конвейере, причем измерения можно выполнять практически непрерывно.

### Список литературы

1. Козин В.З., Тихонов О.И. Опробование, контроль и автоматизация обогатительных процессов.– М.: Недра, 1995. – 343 с.

2. Фанштейн Э.Г Влияние слоя магнетитового концентрата на поле в рабочем пространстве барабанного сепаратора // Изв. вузов. Горн. журн. – 1974. – № 5.– С. – 23 – 25.

3. Кочура Е.В., Коломоец В.И. Разработка и экспериментальные исследования устройства для автоматического контроля и управления магнитным полем сепаратора // Обогащение руд. – 1991. – № 6. – С. – 19 – 21.

4. Кочура Е.В. Исследование сигнала активной мощности электродвигателя магнитного сепаратора с позиций задач управления // Обогащение руд. – 1994. – № 4. – С. 37 – 42.

5. Младецкий И.К. Обоснование способа управления технологической линией обогащения полезного ископаемого // Горн. электромеханика и автоматика: Респ. межвед. науч. – техн. сб. – 1985. – № 47. – С. 37 – 42.

© Ислам Абдельхамид Юсеф Аль Бостанжи, 2005